

# Exemplo de Aplicação de Transformações Lineares: Análise das Componentes Principais

**Guilherme de Alencar Barreto**

`gbarreto@ufc.br`

Departamento de Engenharia de Teleinformática (DETI)  
Engenharias de Computação, Telecomunicações e Teleinformática  
Universidade Federal do Ceará – UFC  
[www.researchgate.net/profile/Guilherme\\_Barreto2/](http://www.researchgate.net/profile/Guilherme_Barreto2/)

- 1 Transformadas Matriciais
- 2 Descrição do Problema
- 3 Algoritmo PCA: Passo-a-Passo
- 4 Diagonalização da Matriz de Covariância
- 5 Interpretação Geométrica
- 6 Redução de Dimensionalidade
- 7 Exemplos Teórico-Computacionais

### Transformadas Matriciais

Para cada  $\mathbf{x} \in \mathbb{R}^{p \times 1}$ , uma transformada matricial é definida por

$$\mathbf{z} = \mathbf{W}\mathbf{x} \quad (\text{ou} \quad \mathbf{W}\mathbf{x} = \mathbf{z}), \quad (1)$$

em que  $\mathbf{W}$  é uma matriz  $q \times p$ .

- Para simplificar, muitas vezes denotamos essa transformação matricial por

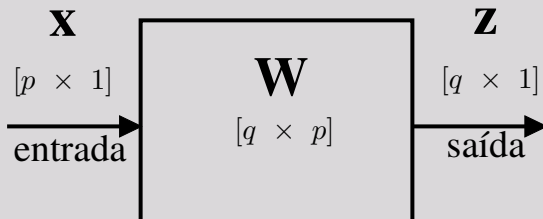
$$\boxed{\mathbf{x} \mapsto \mathbf{W}\mathbf{x}} \quad (2)$$

# Álgebra Linear

## Análise das Componentes Principais

### Diagrama de Blocos

Ajuda muito no entendimento de uma transformação linear se representarmos a relações  $\mathbf{z} = \mathbf{W}\mathbf{x}$  na forma de um diagrama de blocos do tipo entrada-saída.



### Formalização Matemática do Problema

- Considere um conjunto de dados formado por  $N$  vetores de atributos  $\mathbf{x}_k$ ,  $k = 1, \dots, N$ , que estão organizados ao longo das colunas da matriz  $\mathbf{X} \in \mathbb{R}^{p \times N}$ :

$$\mathbf{X} = \begin{bmatrix} | & | & \cdots & | \\ \mathbf{x}_1 & \mathbf{x}_2 & \cdots & \mathbf{x}_N \\ | & | & \cdots & | \end{bmatrix}, \quad (3)$$

com cada vetor de atributo  $\mathbf{x}_k \in \mathbb{R}^{p \times 1}$  dado por

$$\mathbf{x}_k = \begin{bmatrix} x_{1,k} \\ x_{2,k} \\ \vdots \\ x_{p,k} \end{bmatrix}, \quad \text{tal que } p \rightarrow \infty. \quad (4)$$

### Formalização Matemática do Problema

- Deseja-se transformar cada vetor  $\mathbf{x}_k \in \mathbb{R}^{p \times 1}$  no conjunto de dados em um outro vetor  $\mathbf{z}_k \in \mathbb{R}^{q \times 1}$  de dimensão  $q$ , ou seja

$$\mathbf{z}_k = \begin{bmatrix} z_{1,k} \\ z_{2,k} \\ \vdots \\ z_{q,k} \end{bmatrix}, \quad \text{tal que } q \leq p. \quad (5)$$

- Isto deve ser feito por meio de uma transformação linear:

$$\mathbf{z}_k = \mathbf{Q}\mathbf{x}_k, \quad \forall k = 1, \dots, N. \quad (6)$$

- Além disso, esta transformação deve preservar a informação **relevante** constante no conjunto  $\mathbf{X}$ .

### Perspectiva Histórica e Vários Nomes para Mesma Técnica

- Desenvolvido por Harold Hotelling em 1933, que cunhou também o termo PCA, sendo também conhecida como *Transformada de Hotelling*.
  - H. Hotelling (1933). “Analysis of a complex of statistical variables into principal components”, *Journal of Educational Psychology*, 24(7):498-520.
- Também conhecida como *Transformada de Karhunen–Loève* em processamento de sinais.
  - K. Karhunen (1947). “Über lineare Methoden in der Wahrscheinlichkeitsrechnung”, *Ann. Acad. Sci. Fennicae. Ser. A. I. Math.-Phys.*, No. 37, 179.
  - M. Loève (1955). “Probability Theory”. Princeton, New Jersey, USA: D Van Nostrand.
- É um caso particular da *Decomposição em Valores Singulares* (SVD, sigla do inglês), quando a matriz a ser decomposta é a matriz de covariância dos dados (quadrada, simétrica e definida positiva).
  - G. W. Stewart (1993). “On the early history of the singular value decomposition”. *SIAM Review*. 35 (4): 551566.

### Algoritmo PCA: Passo-a-Passo

- **Passo 1** - Determinar o vetor-médio dos dados em  $\mathbf{X}$ :

$$\bar{\mathbf{x}} = \frac{1}{N} \sum_{k=1}^N \mathbf{x}_k. \quad (7)$$

- **Passo 2** - Centralizar os dados:  $\mathbf{x}_k = \mathbf{x}_k - \bar{\mathbf{x}}$ .
- **Passo 3** - Estimar a matriz de covariância dos dados em  $\mathbf{X}$ :

$$\mathbf{C}_{\mathbf{x}} = E[\mathbf{x}\mathbf{x}^T], \quad (8)$$

$$\approx \frac{1}{N} \sum_{k=1}^N \mathbf{x}_k \mathbf{x}_k^T, \quad (9)$$

em que  $E[\cdot]$  é o operador valor esperado.



### Algoritmo PCA: Passo-a-Passo

- **Passo 4** - Determinar os  $p$  autovalores da matriz  $\mathbf{C}_{\mathbf{x}} \in \mathbb{R}^{p \times p}$  e os  $p$  autovetores correspondentes. Em outras palavras, resolver o seguinte sistema de equações:

$$\mathbf{C}_{\mathbf{x}} \mathbf{v} = \lambda \mathbf{v}, \quad (10)$$

em que  $\lambda > 0$  e  $\mathbf{v} \in \mathbb{R}^{p \times 1}$  denotam, respectivamente, o autovalor e o autovetor associado.

- Os autovalores são as raízes do polinômio em  $\lambda$ , de ordem  $p$ , obtido a partir da seguinte expressão:

$$\det(\mathbf{C}_{\mathbf{x}} - \lambda \mathbf{I}_p) = 0. \quad (11)$$

### Algoritmo PCA: Pausa para Explicação

- A Eq. (10) trata de um problema clássico em sistemas lineares: o problema do autovalor.
- Este é um caso particular do problema mais geral de transformações lineares do tipo  $\mathbf{Ax} = \mathbf{b}$ .
- Lembre-se que a operação matricial  $\mathbf{Ax}$  produz um vetor  $\mathbf{b}$ .
- Para gerar o vetor  $\mathbf{b}$ , o vetor  $\mathbf{x}$  tem sua norma e/ou orientação modificados pela multiplicação pela matriz  $\mathbf{A}$ .
- O problema do autovalor é um caso particular de transformação linear em que  $\mathbf{b} = \lambda\mathbf{x}$ .
- Ou seja, a matriz  $\mathbf{A}$  altera apenas a norma de  $\mathbf{x}$ , pois gera um vetor múltiplo de  $\mathbf{x}$ .

### Algoritmo PCA: Pausa para Explicação

- Por ser uma matriz simétrica e definida positiva, os  $p$  autovalores são sempre positivos.
- Para resolver a Eq. (10), a escrevemos como um sistema homogêneo:

$$\mathbf{C}_x \mathbf{v} = \lambda \mathbf{v} = \lambda \mathbf{I}_p \mathbf{v} \quad \Rightarrow \quad (\mathbf{C}_x - \lambda \mathbf{I}_p) \mathbf{v} = \mathbf{0}_p, \quad (12)$$

em que  $\mathbf{0}_p$  é um vetor de zeros de dimensão  $p \times 1$ .

- Este sistema tem uma única solução  $\mathbf{v} = \mathbf{0}_p$ , chamada de trivial, se o determinante de  $\mathbf{C}_x - \lambda \mathbf{I}_p$  for diferente de zero.
- A solução trivial não nos interessa. Logo, buscamos as soluções não-triviais, ou seja, aquelas para as quais o determinante de  $\mathbf{C}_x - \lambda \mathbf{I}_p$  é nulo. Vide Eq. (11).

### Algoritmo PCA: Pausa para Explicação

- A Eq. (11) resulta em uma equação polinomial em  $\lambda$  de ordem  $p$ . Os autovalores são as raízes deste polinômio.
- Suponha que a matriz  $\mathbf{C}_x$  é dada por

$$\mathbf{C}_x = \begin{bmatrix} 1 & 0,8 \\ 0,8 & 4 \end{bmatrix}$$

- Neste caso, a matriz  $\mathbf{C}_x - \lambda \mathbf{I}_2$  é dada por

$$\begin{bmatrix} 1 & 0,8 \\ 0,8 & 4 \end{bmatrix} - \begin{bmatrix} \lambda & 0 \\ 0 & \lambda \end{bmatrix} = \begin{bmatrix} 1 - \lambda & 0,8 \\ 0,8 & 4 - \lambda \end{bmatrix}$$

### Algoritmo PCA: Pausa para Explicação

- Igualando seu determinante a zero, obtemos a seguinte equação polinomial:

$$p(\lambda) = (1-\lambda)(4-\lambda) - (0,8)(0,8) = \lambda^2 - 5\lambda + 3,36 = 0. \quad (13)$$

- Cujas raízes são  $\lambda_1 = 0,8$  e  $\lambda_2 = 4,2$ .
- Em Octave/Matlab, as raízes de  $p(\lambda)$  podem ser encontradas por meio do seguinte comando:

```
» roots([1 -5 3.36])
```

### Algoritmo PCA: Passo-a-Passo

- Como a matriz  $\mathbf{C}_x \in \mathbb{R}^{p \times p}$  é positiva definida, todos os seus  $p$  autovalores são positivos e distintos.
- Os autovalores devem ser ordenados em ordem decrescente de suas magnitudes:

$$\lambda_1 > \lambda_2 > \lambda_3 > \cdots > \lambda_p \quad (14)$$

- Os autovetores são determinados resolvendo-se o sistema na Eq. (10)  $p$  vezes, uma para cada autovalor:

$$\mathbf{C}_x \mathbf{v}_i = \lambda_i \mathbf{v}_i, \quad i = 1, \dots, p. \quad (15)$$

em que  $\lambda_i$  e  $\mathbf{v}_i \in \mathbb{R}^{p \times 1}$  são, respectivamente, o  $i$ -ésimo autovalor e o autovetor associado.

### Algoritmo PCA: Passo-a-Passo

- Note que se  $\mathbf{v}_i$  é uma solução da Eq. (15), então o seu vetor oposto  $-\mathbf{v}_i$  também é, como é facilmente verificável abaixo.

$$\mathbf{C}_\mathbf{x}(-\mathbf{v}_i) = \lambda_i(-\mathbf{v}_i), \quad (16)$$

$$-\mathbf{C}_\mathbf{x}\mathbf{v}_i = -\lambda_i\mathbf{v}_i, \quad (17)$$

$$\mathbf{C}_\mathbf{x}\mathbf{v}_i = \lambda_i\mathbf{v}_i. \quad (18)$$

- Esta propriedade faz com que, a depender do algoritmo numérico usado para resolver a Eq. (15), o conjunto de autovetores encontrados difira entre si apenas pelos sinais.
- Por exemplo, compare o conjunto de autovetores retornados as funções `eig` e `pcacov` do Octave/Matlab.

### Algoritmo PCA: Passo-a-Passo

- Os autovetores  $\mathbf{v}_i \in \mathbb{R}^{p \times 1}$ ,  $i = 1, \dots, p$ , formam um conjunto de vetores **ortonormais**:

$$\mathbf{v}_i^T \mathbf{v}_j = \|\mathbf{v}_i\| \cdot \|\mathbf{v}_j\| \cdot \cos(\theta) = \begin{cases} 1, & \text{se } i = j \ (\theta = 0) \\ 0, & \text{se } i \neq j \ (\theta = \pi/2) \end{cases} \quad (19)$$

- Dispor os autovetores ao longo das colunas da matriz  $\mathbf{V}$ :

$$\mathbf{V} = \begin{bmatrix} | & | & \cdots & | \\ \mathbf{v}_1 & \mathbf{v}_2 & \cdots & \mathbf{v}_p \\ | & | & & | \end{bmatrix}_{p \times p} \quad (20)$$

- A matriz  $\mathbf{V}$  é quadrada e de dimensões  $p \times p$ .



### Algoritmo PCA: Passo-a-Passo

- A ortonormalidade de  $\mathbf{V}$  pode ser verificada matricialmente por meio da seguinte operação:  $\mathbf{V}\mathbf{V}^T = \mathbf{I}_p$ , em que  $\mathbf{I}_p$  é a matriz identidade de dimensões  $p \times p$ .
- Ao analisarmos a expressão anterior, nota-se que a transposta da matriz  $\mathbf{V}$  é a sua inversa:

$$\mathbf{V}^{-1} = \mathbf{V}^T. \quad (21)$$

- Essa propriedade é resultado da ortogonalidade dos vetores que formam suas colunas e será útil na reconstrução dos dados originais a partir dos dados transformados, ou seja, através do mapeamento inverso de  $\mathbf{z}_k$  para  $\mathbf{x}_k$ .

### Algoritmo PCA: Passo-a-Passo

- **Passo 5** - Definir a matriz de transformação  $\mathbf{Q}$  como

$$\mathbf{Q} = \mathbf{V}^T. \quad (22)$$

- **Passo 6** - Aplicar a matriz  $\mathbf{Q}$  sobre os vetores de atributos originais. Isto pode ser feito vetor a vetor:

$$\mathbf{z}_k = \mathbf{Q}\mathbf{x}_k, \quad (23)$$

para  $k = 1, \dots, N$ . Ou, de forma matricial, em uma única operação dada por

$$\mathbf{Z} = \mathbf{Q}\mathbf{X}. \quad (24)$$

- O mapeamento inverso é então dado por  $\mathbf{x}_k = \mathbf{Q}^T \mathbf{z}_k$  ou  $\mathbf{X} = \mathbf{Q}^T \mathbf{Z}$ .

# Álgebra Linear

## Análise das Componentes Principais

- Note que a aplicação da matriz  $\mathbf{Q}$  sobre o vetor de atributos original  $\mathbf{x}_k$  produz um novo vetor de atributos  $\mathbf{z}_k$ .
- Sem perda de generalidade, o índice  $k$  é retirado para deixar a notação mais clara.
- Pode-se escrever a transformação linear  $\mathbf{z} = \mathbf{V}^T \mathbf{x}$  em sua forma escalar como um sistema de equações lineares:

$$\begin{bmatrix} z_1 \\ z_2 \\ \vdots \\ z_i \\ \vdots \\ z_p \end{bmatrix} = \begin{bmatrix} v_{11} & v_{21} & \cdots & v_{i1} & \cdots & v_{p1} \\ v_{12} & v_{22} & \cdots & v_{i2} & \cdots & v_{p2} \\ \vdots & \vdots & \ddots & \vdots & \vdots & \vdots \\ v_{1i} & v_{2i} & \cdots & v_{ii} & \cdots & v_{pi} \\ \vdots & \vdots & \vdots & \vdots & \ddots & \vdots \\ v_{1p} & v_{2p} & \cdots & v_{ip} & \cdots & v_{pp} \end{bmatrix} \begin{bmatrix} x_1 \\ x_2 \\ \vdots \\ x_i \\ \vdots \\ x_p \end{bmatrix} = \begin{bmatrix} \mathbf{v}_1^T \mathbf{x} \\ \mathbf{v}_2^T \mathbf{x} \\ \vdots \\ \mathbf{v}_i^T \mathbf{x} \\ \vdots \\ \mathbf{v}_p^T \mathbf{x} \end{bmatrix} \quad (25)$$

- Tomemos a  $i$ -ésima componente de  $\mathbf{z}$  na Eq. (25):

$$z_i = \mathbf{v}_i^T \mathbf{x} = \begin{bmatrix} v_{1i} & v_{2i} & \cdots & v_{ii} & \cdots & v_{pi} \end{bmatrix} \begin{bmatrix} x_1 \\ x_2 \\ \vdots \\ x_i \\ \vdots \\ x_p \end{bmatrix}, \quad (26)$$

$$= v_{1i}x_1 + v_{2i}x_2 + \cdots + v_{ii}x_i + \cdots + v_{pi}x_p \quad (27)$$

- Assim, a  $i$ -ésima componente de  $\mathbf{z}$  é uma combinação linear dos atributos de  $\mathbf{x}$ , com as componentes do  $i$ -ésimo autovetor  $\mathbf{v}_i$  sendo os coeficientes de ponderação.
- Resumindo,  $z_i$  é o produto escalar de  $\mathbf{v}_i$  e  $\mathbf{x}$ .

### Diagonalização da Matriz $\mathbf{C}_x$

- Ao aplicar a matriz  $\mathbf{Q}$  sobre os vetores de atributos originais, da forma como está definida na Eq. (23), percebemos que as dimensões dos vetores  $\mathbf{x}_k$  e  $\mathbf{z}_k$  são iguais (i.e.  $p = q$ ). Portanto, não temos aqui uma redução de dimensionalidade.
- O que, então, acontece com os vetores de dados?
- Que tipo de transformação eles sofreram?
- Para responder estas questões, vamos precisar calcular a matriz de covariância dos dados transformados, ou seja, precisamos determinar

$$\mathbf{C}_z = E[\mathbf{z}\mathbf{z}^T]. \quad (28)$$

### Diagonalização da Matriz $\mathbf{C}_x$

- A partir da Eq. (28) e da Eq. (24), obtemos:

$$\mathbf{C}_z = E[\mathbf{z}\mathbf{z}^T] \quad (29)$$

$$= E[(\mathbf{V}^T \mathbf{x}) (\mathbf{V}^T \mathbf{x})^T] \quad (30)$$

$$= E[(\mathbf{V}^T \mathbf{x}) (\mathbf{x}^T \mathbf{V})] \quad (31)$$

$$= E[\mathbf{V}^T (\mathbf{x}\mathbf{x}^T) \mathbf{V}] \quad (32)$$

$$= \mathbf{V}^T E[\mathbf{x}\mathbf{x}^T] \mathbf{V} \quad (33)$$

$$= \mathbf{V}^T \mathbf{C}_x \mathbf{V} \quad (34)$$

- Este resultado mostra que dada a matriz de covariância dos dados originais  $\mathbf{C}_x$  e a matriz de autovetores  $\mathbf{V}$ , facilmente obtemos a matriz de covariância dos dados transformados  $\mathbf{C}_z$ .

### Diagonalização da Matriz $\mathbf{C}_x$

- Contudo, não diz muita coisa sobre a forma da matriz de covariância dos dados transformados. Para isso, vamos expandir os produtos matriz-vetor da Eq. (34), começando pelo produto  $\mathbf{C}_x \mathbf{V}$ :

$$\mathbf{C}_x \mathbf{V} = \mathbf{C}_x \begin{bmatrix} | & | & \cdots & | \\ \mathbf{v}_1 & \mathbf{v}_2 & & \mathbf{v}_p \\ | & | & & | \end{bmatrix} \quad (35)$$

$$= \begin{bmatrix} | & | & \cdots & | \\ \mathbf{C}_x \mathbf{v}_1 & \mathbf{C}_x \mathbf{v}_2 & \cdots & \mathbf{C}_x \mathbf{v}_p \\ | & | & & | \end{bmatrix}_{p \times p} \quad (36)$$

$$= \begin{bmatrix} | & | & \cdots & | \\ \lambda_1 \mathbf{v}_1 & \lambda_2 \mathbf{v}_2 & \cdots & \lambda_p \mathbf{v}_p \\ | & | & & | \end{bmatrix}_{p \times p} \quad (37)$$

usando o fato que  $\mathbf{C}_x \mathbf{v}_i = \lambda_i \mathbf{v}_i$ .

### Diagonalização da Matriz $\mathbf{C}_x$

- Agora, lembrando que  $\mathbf{V}^T$  também é uma matriz  $p \times p$ , podemos realizar a segunda parte do produto:

$$\mathbf{V}^T \mathbf{C}_x \mathbf{V} = \underbrace{\begin{bmatrix} - & \mathbf{v}_1^T & - \\ - & \mathbf{v}_2^T & - \\ & \vdots & \\ - & \mathbf{v}_p^T & - \end{bmatrix}}_{p \times p} \underbrace{\begin{bmatrix} | & | & & | \\ \lambda_1 \mathbf{v}_1 & \lambda_2 \mathbf{v}_2 & \cdots & \lambda_p \mathbf{v}_p \\ | & | & & | \end{bmatrix}}_{p \times p} \quad (38)$$



### Diagonalização da Matriz $\mathbf{C}_x$

- Chegamos à seguinte expressão da matriz de covariância  $\mathbf{C}_z$ :

$$\mathbf{C}_z = \mathbf{V}^T \mathbf{C}_x \mathbf{V} \quad (39)$$

$$= \begin{bmatrix} \lambda_1 \mathbf{v}_1^T \mathbf{v}_1 & \lambda_2 \mathbf{v}_1^T \mathbf{v}_2 & \cdots & \lambda_p \mathbf{v}_1^T \mathbf{v}_p \\ \lambda_1 \mathbf{v}_2^T \mathbf{v}_1 & \lambda_2 \mathbf{v}_2^T \mathbf{v}_2 & \cdots & \lambda_p \mathbf{v}_2^T \mathbf{v}_p \\ \vdots & \vdots & \ddots & \vdots \\ \lambda_1 \mathbf{v}_p^T \mathbf{v}_1 & \lambda_2 \mathbf{v}_p^T \mathbf{v}_2 & \cdots & \lambda_p \mathbf{v}_p^T \mathbf{v}_p \end{bmatrix}_{p \times p} \quad (40)$$

$$= \begin{bmatrix} \lambda_1 & 0 & \cdots & 0 \\ 0 & \lambda_2 & \cdots & 0 \\ \vdots & \vdots & \ddots & \vdots \\ 0 & 0 \cdots & 0 & \lambda_p \end{bmatrix}_{p \times p} \quad (41)$$

### Diagonalização da Matriz $\mathbf{C}_x$

- O produto  $\mathbf{V}^T \mathbf{C}_x \mathbf{V}$  pode também ser desenvolvido em função dos elementos de  $\mathbf{C}_x$ .

$$\mathbf{C}_z = \mathbf{V}^T \mathbf{C}_x \mathbf{V} \quad (42)$$

$$= \begin{bmatrix} \sigma_1^2 \mathbf{v}_1^T \mathbf{v}_1 & \sigma_{12} \mathbf{v}_1^T \mathbf{v}_2 & \cdots & \sigma_{1n} \mathbf{v}_1^T \mathbf{v}_p \\ \sigma_{21} \mathbf{v}_2^T \mathbf{v}_1 & \sigma_2^2 \mathbf{v}_2^T \mathbf{v}_2 & \cdots & \sigma_{2n} \mathbf{v}_2^T \mathbf{v}_p \\ \vdots & \vdots & \ddots & \vdots \\ \sigma_{n1} \mathbf{v}_p^T \mathbf{v}_1 & \sigma_{n2} \mathbf{v}_p^T \mathbf{v}_2 & \cdots & \sigma_p^2 \mathbf{v}_p^T \mathbf{v}_p \end{bmatrix}_{p \times p} \quad (43)$$

$$= \begin{bmatrix} \sigma_1^2 & 0 & \cdots & 0 \\ 0 & \sigma_2^2 & \cdots & 0 \\ \vdots & \vdots & \ddots & \vdots \\ 0 & 0 \cdots & 0 & \sigma_p^2 \end{bmatrix}_{p \times p} \quad (44)$$

### Diagonalização da Matriz $\mathbf{C}_x$

- Resumindo, temos que a matriz de covariância dos dados transformados  $\mathbf{C}_z = \mathbf{V}^T \mathbf{C}_x \mathbf{V}$  tem a seguinte forma:

$$\mathbf{C}_z = \begin{bmatrix} \lambda_1 & 0 & \cdots & 0 \\ 0 & \lambda_2 & \cdots & 0 \\ \vdots & \vdots & \ddots & \vdots \\ 0 & 0 \cdots & 0 & \lambda_p \end{bmatrix} = \begin{bmatrix} \sigma_1^2 & 0 & \cdots & 0 \\ 0 & \sigma_2^2 & \cdots & 0 \\ \vdots & \vdots & \ddots & \vdots \\ 0 & 0 \cdots & 0 & \sigma_p^2 \end{bmatrix} \quad (45)$$

### Diagonalização da Matriz $\mathbf{C}_x$

- Do exposto na Eq. (45), tiramos as seguintes conclusões:
  - 1 A matriz de covariância dos dados transformados é diagonal, ou seja, não há correlação entre as componentes do vetor  $\mathbf{z}$ .
  - 2 Ou seja, PCA atua sobre os dados em  $\mathbf{X}$  para gerar um novo conjunto de dados  $\mathbf{Z}$ , cuja matriz de covariância é diagonal.
  - 3 As variâncias das variáveis transformadas são iguais aos autovalores de  $\mathbf{C}_x$ .
  - 4 Os autovalores, por sua vez, são iguais às variâncias das variáveis originais.
- Uma consequência imediata desses resultados é que não é necessário calcular os autovalores da matriz  $\mathbf{C}_z$ , já que eles são iguais às variâncias das variáveis originais!!

### Interpretação Geométrica

- A transformação linear do PCA pode ser entendida como uma mudança de base. Uma base no espaço  $\mathbb{R}^n$  é qualquer conjunto de  $n$  vetores linearmente independentes (LI) usado para representar os vetores daquele espaço.
- Por exemplo, a base canônica do  $\mathbb{R}^2$  é formada pelos vetores

$$\mathbf{e}_1 = \begin{bmatrix} 1 \\ 0 \end{bmatrix} \quad \text{e} \quad \mathbf{e}_2 = \begin{bmatrix} 0 \\ 1 \end{bmatrix}. \quad (46)$$

- Assim, qualquer vetor  $\begin{bmatrix} a & b \end{bmatrix}^T$  no  $\mathbb{R}^2$  pode ser escrito como

$$\begin{bmatrix} a \\ b \end{bmatrix} = a\mathbf{e}_1 + b\mathbf{e}_2 = a \begin{bmatrix} 1 \\ 0 \end{bmatrix} + b \begin{bmatrix} 0 \\ 1 \end{bmatrix}. \quad (47)$$

### Interpretação Geométrica

- Uma outra possível base do  $\mathbb{R}^2$  é formada pelos vetores

$$\mathbf{v}_1 = \begin{bmatrix} 0 \\ 1 \end{bmatrix} \quad \text{e} \quad \mathbf{v}_2 = \begin{bmatrix} 1 \\ 1 \end{bmatrix}. \quad (48)$$

- Neste caso, o vetor  $[a \ b]^T$ , originalmente escrito com relação à base  $\mathcal{B}_1 = \{\mathbf{e}_1, \mathbf{e}_2\}$ , com relação à base  $\mathcal{B}_2 = \{\mathbf{v}_1, \mathbf{v}_2\}$  passa ser representado como

$$\begin{bmatrix} a \\ b \end{bmatrix} = a\mathbf{v}_1 + (b - a)\mathbf{v}_2 = a \begin{bmatrix} 0 \\ 1 \end{bmatrix} + (b - a) \begin{bmatrix} 1 \\ 1 \end{bmatrix} \quad (49)$$

$$\begin{bmatrix} a \\ b \end{bmatrix}_{\mathcal{B}_1} \equiv \begin{bmatrix} a \\ (b - a) \end{bmatrix}_{\mathcal{B}_2}. \quad (50)$$

### Interpretação Geométrica

- Existem muitas outras possibilidades de se formar uma base no  $\mathbb{R}^2$ , bastando para isso que os vetores sejam LI.
- A base  $\mathcal{B}_1$  é chamada de base ortonormal  $\{\mathbf{e}_1, \mathbf{e}_2\}$ , porque os vetores  $\mathbf{e}_1$  e  $\mathbf{e}_2$  são ortogonais (ou perpendiculares) entre si, pois seu produto interno é nulo.
- Além disso, ambos tem norma unitária (i.e.  $\|\mathbf{e}_1\| = \|\mathbf{e}_2\| = 1$ ).
- Com relação à PCA, os vetores de dados originais  $\mathbf{x}_k$  são escritos em relação à base canônica do  $\mathbb{R}^p$ .
- Enquanto os vetores transformados  $\mathbf{z}_k$  são escritos em relação à base formada pelos autovetores da matriz de covariância  $\mathbf{C}_{\mathbf{x}}$ .

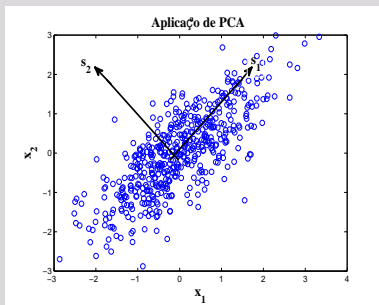
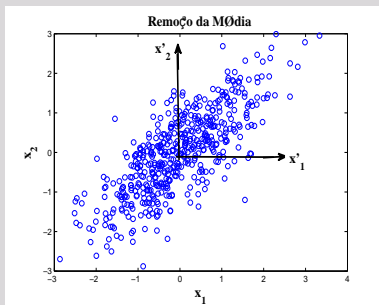
### Interpretação Geométrica

- Lembre-se que no espaço original as componentes do vetor  $\mathbf{x}_k$  estão correlacionadas, enquanto no espaço transformado as componentes do vetor  $\mathbf{z}_k$  não.
- Dito de outra forma, no sistema de coordenadas perpendiculares associado à nova base formada pelos autovetores de  $\mathbf{C}_x$ , as componentes de  $\mathbf{z}_k$  são descorrelacionadas.
- Do ponto de vista geométrico, o processo de descorrelação levado a cabo via PCA corresponde a uma rotação do sistema de coordenadas no qual os dados são representados.



### Interpretação Geométrica

- Graficamente, o processo de diagonalização da matriz de covariância de um conjunto de dados, ou equivalente, de descorrelação dos atributos de um conjunto de dados, está mostrado na figura abaixo.



### PCA para Seleção de Atributos

- Pode-se usar a primeira componente  $z_1$  para verificar a importância de cada atributo do vetor  $\mathbf{x}$  e selecionar os mais relevantes.
- Para isso, basta entender que a operação que gera o atributo  $z_1 = \mathbf{v}_1^T \mathbf{x}$  depende do autovetor que define a direção (ou eixo) de maior variância dos dados. Podendo ser interpretada como uma projeção de  $\mathbf{x}$  na direção de  $\mathbf{v}_1$ .
- Percebe-se os coeficientes  $v_{j1}$ ,  $j = 1, \dots, p$ , ponderam os atributos originais  $\{x_1, x_2, \dots, x_p\}$ ; ou seja

$$z_1 = v_{11}x_1 + v_{21}x_2 + v_{31}x_3 + \dots + v_{p1}x_p \quad (51)$$

- Assim, quanto maior for o coeficiente  $v_{j1}$ , mais importante é a variável  $x_j$ ,  $j = 1, \dots, p$ .

### PCA para Redução de Dimensão

- Usando apenas as  $q$  primeiras colunas de  $\mathbf{V}$ , obtemos

$$\mathbf{V}_q = \begin{bmatrix} | & | & \cdots & | \\ \mathbf{v}_1 & \mathbf{v}_2 & \cdots & \mathbf{v}_q \\ | & | & & | \end{bmatrix}_{p \times q} \Rightarrow \mathbf{Q}_q = \mathbf{V}_q^T \quad (52)$$

- A matriz  $\mathbf{Q}_q$  tem dimensão  $q \times p$ . O vetor  $\mathbf{z}_k = \mathbf{Q}_q \mathbf{x}_k = \mathbf{V}_q^T \mathbf{x}_k$  terá dimensão  $q \times 1$ . E a matriz de covariância  $\mathbf{C}_{\mathbf{z}}^{(q)}$  é dada por

$$\mathbf{C}_{\mathbf{z}}^{(q)} = \mathbf{V}_q^T \mathbf{C}_{\mathbf{x}} \mathbf{V}_q = \begin{bmatrix} \lambda_1 & 0 & \cdots & 0 \\ 0 & \lambda_2 & \cdots & 0 \\ \vdots & \vdots & \ddots & \vdots \\ 0 & 0 \cdots & 0 & \lambda_q \end{bmatrix}_{q \times q} \quad (53)$$

### Uma Medida da Informação Contida em $\mathbf{X}$

- Lembrando que nosso objetivo inicial era encontrar uma transformação linear que preservasse a informação relevante contida nos dados originais. Mas, como quantificar a informação relevante em um conjunto de dados?
- Podemos definir a Variância Total ( $VT$ ) como uma medida da quantidade de informação contida nos dados originais:

$$VT = \sigma_1^2 + \sigma_2^2 + \cdots + \sigma_p^2 \quad (54)$$

$$= \lambda_1 + \lambda_2 + \cdots + \lambda_p \quad (55)$$

- Como  $\lambda_i = \sigma_i^2$ , podemos criar uma medida de quanto da informação (i.e. variância) do conjunto original está sendo representada no autovalor  $\lambda_i$ .

### Uma Medida da Informação Contida em $\mathbf{X}$

- Chamaremos esta medida de variância explicada pelo  $i$ -ésimo autovalor ( $VE_i$ ):

$$VE_i = 100 \times \frac{\lambda_i}{VT} = 100 \times \left( \frac{\lambda_i}{\lambda_1 + \lambda_2 + \cdots + \lambda_p} \right) \quad (56)$$

- Consequentemente, a porcentagem da variância total dos dados explicada pelos primeiros  $q$  autovalores é dada por:

$$VE(q) = 100 \times \frac{\sum_{i=1}^q \lambda_i}{VT} \quad (57)$$

$$= 100 \times \left( \frac{\lambda_1 + \lambda_2 + \cdots + \lambda_q}{\lambda_1 + \lambda_2 + \cdots + \lambda_p} \right) \quad (58)$$

- O gráfico  $VE(q) \times q$  é usualmente chamado de *scree plot*.

### Uma Medida da Informação Contida em $\mathbf{X}$

- A grandeza  $VT$  pode ser entendida como uma medida linear da informação total contida nos dados.
- Lembre-se que as únicas estatística relevante que sobrou com a transformação imposta aos dados pela equação  $\mathbf{z} = \mathbf{V}^T \mathbf{x}$  foram as variâncias, na forma de autovalores na diagonal da matriz  $\mathbf{C}_{\mathbf{z}}$ .
- As médias dos atributos originais foram eliminadas no Passo 2 do algoritmo do PCA. E as correlações que existiam entre os atributos  $x_i$  e  $x_j$  não existem mais entre os atributos  $z_i$  e  $z_j$ .
- Consequentemente, a grandeza  $VE(q)$  é uma medida (linear) da informação dos dados devida aos  $q$  primeiros autovalores.
- Se  $q = p$ , não há redução de dimensionalidade; logo, não haverá compressão (perda) de informação e uma eventual reconstrução da entrada será perfeita.
- Se  $q < p$ , há redução de dimensionalidade; logo, haverá perda de informação e uma reconstrução da entrada não será perfeita.

### Implementação em Matlab/Octave (cont.-1)

- Geração de dados sintéticos com a seguinte matriz de covariância:

$$\mathbf{C}_x = \begin{bmatrix} 1 & 1.8 & -0.9 \\ 1.8 & 4 & 0.6 \\ -0.9 & 0.6 & 9 \end{bmatrix} \quad (59)$$

```
» m1=5; sig1 = 1;    % Media/Desvio-padrao atributo 1
» m2=-5; sig2 = 1;    % Media/Desvio-padrao atributo 2
» m3=0; sig3 = 1;    % Media/Desvio-padrao atributo 3
» N = 5000;          % no. amostras a gerar de cada atributo
» X1=normrnd(m1,sig1,1,N);    % gerar x1 ~ N(m1,1)
» X2=normrnd(m2,sig2,1,N);    % gerar x2 ~ N(m2,1)
» X3=normrnd(m3,sig3,1,N);    % gerar x3 ~ N(m3,1)
» Xu=[X1; X2; X3];          % Agrupa dados em uma matriz 3xN
» Cd=[1 1.8 -0.9;1.8 4 0.6;-0.9 0.6 9];    % Matriz desejada
```

### Implementação em Matlab/Octave (cont.-2)

- Geração dos dados correlacionados via Decomposição de Cholesky.
  - » `R=chol(Cd);`    % Aplica Cholesky na matriz Cd
  - » `Xc=R'*Xu;`    % Gera dados correlacionados
- Assim, o passo seguinte consiste na estimação da matriz de covariância dos dados originais  $\mathbf{C}_x$ .
  - » `Cx=cov(X')`;
- **Atenção:** A matriz  $\mathbf{X}$  entra transposta no comando `COV` porque, por convenção, o Matlab considera que os dados estão dispostos ao longo das linhas de  $\mathbf{X}$ , e não ao longo das colunas.



### Implementação em Matlab/Octave (cont.-3)

- Em seguida, estimam-se os autovalores/autovetores de  $C_x$ .
  - » `[V L]=eig(Cx);`    % matrizes de autovetores/valores
  - » `L=diag(L);`    % vetor de autovalores nao-ordenados
  - » `[L I]=sort(L,'descend');`    % autovalores ordenados
  - » `V=V(:,I);`    % ordena autovetores associados
- **Atenção:** A função EIG retorna uma matriz “L” cujo os autovalores estão na diagonal principal. Daí a necessidade de se usar em seguida o comando DIAG, para extrair os autovalores e colocá-los em um vetor.

### Implementação em Matlab/Octave (cont.-4)

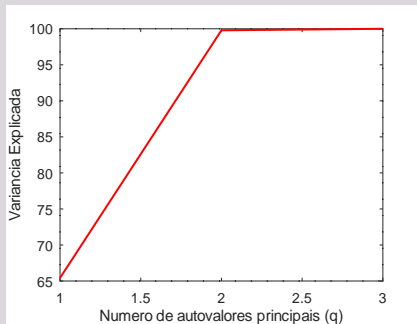
- O passo final consiste em determinar os  $q$  maiores autovalores responsáveis por explicar, pelo menos,  $\text{tol}\%$  da informação contida nos dados originais.

```
» tol=0.95;    % Informacao a ser preservada
» VE=cumsum(L)/sum(L);    % variancia explicada
» q=length(find(VE<=tol));    % Num. compon. principais
» Vq=V(:,1:q);    % matriz com q primeiros autovetores
» Z=Vq'*X;    % dados transformados
» Xr=Vq*Z;    % reconstroi dados de entrada
» figure; plot(VEq,'r-','linewidth',2);    % Grafico scree
plot
```

- **Atenção:** O número de componentes principais vai variar em função do valor de  $\text{tol}$ . Quanto maior (menor) o valor de  $\text{tol}$ , maior (menor) será o valor de  $q$ .

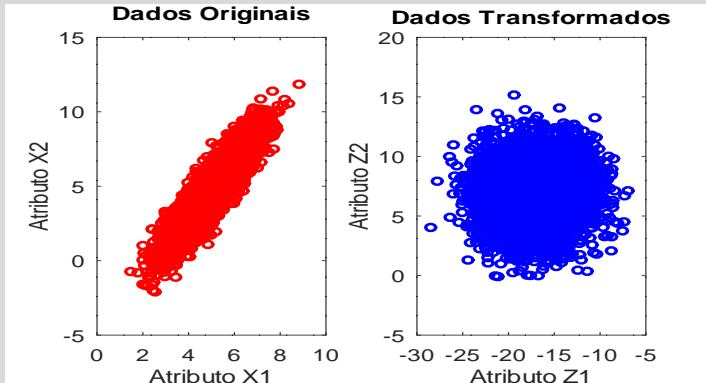
### Resultados Simulação

- O gráfico resultante do *scree plot* é mostrado abaixo.



### Resultados Simulação

- Gráficos de dispersão dos atributos  $x_1$  e  $x_2$  do conjunto original (esquerda) e  $z_1$  e  $z_2$  do conjunto transformado (direita).



### Implementação em Matlab/Octave (cont.-3)

- O método descrito anteriormente não é um método eficiente, computacionalmente falando.
- Ou seja, é um método de *livro-texto*, que tem valor apenas didático, e que não escala bem para dados de alta dimensão.
- Para aplicações práticas, recomenda-se o uso da decomposição em valores singulares (SVD, sigla em Inglês).
  - »  $[U \ L \ V] = \text{svd}(Cx)$  ;em L é uma matriz diagonal com os autovalores ordenados e V é a matriz de autovetores correspondentes.
- No Octave/Matlab, este método é usado nas funções `princomp` e `pcacov`.

### Aplicação de PCA em Compressão e Recuperação de Imagens

- Considere a seguinte imagem, conhecida como Lena.
- Tamanho:  $512 \times 512$ . Resolução: 8 bits (256 níveis de cinza)



### Aplicação de PCA em Compressão e Recuperação de Imagens

- Deseja-se comprimir esta imagem e restaurá-la eventualmente a partir da versão comprimida.
- Inicialmente, pode-se pensar que é preciso ter um conjunto de imagens para se construir um modelo que realize a compressão para qualquer imagem.
- Contudo, pode-se realizar a compressão de apenas uma imagem, que é o caso explorado aqui.
- O truque é associar as dimensões da matriz de dados definida na Eq. (3) com as dimensões da imagem digital (que nada mais é do que uma matriz de intensidades de pixel).
- O caso mais simples consiste em associar o número de linhas da imagem com o número de atributos ( $p$ ) da matriz  $\mathbf{X}$  e o número de colunas da imagem com a quantidade ( $N$ ) de vetores de atributos de  $\mathbf{X}$ . Ou seja, a imagem terá dimensões  $p \times N$ .

### Aplicação de PCA em Compressão e Recuperação de Imagens

- A imagem do exemplo possui dimensões  $512 \times 512$ . Logo, tem-se  $p = 512$  e  $N = 512$ .
- Coincidentemente, a imagem tem as dimensões iguais, resultando em  $p = N$ . Contudo, isto não é uma restrição, podendo ser aplicada para imagens de dimensões diferentes.
- O objetivo da aplicação de PCA aqui é então reduzir o valor de  $p = 512$  para um valor  $q \ll p$ .
- Em outras palavras, cada coluna da imagem original tem dimensão  $512 \times 1$  vai ser transformada para um vetor de dimensão  $q \times 1$ .
- O código a seguir ilustra como isso pode ser implementado para fins de compressão da informação e também para recuperação da informação.



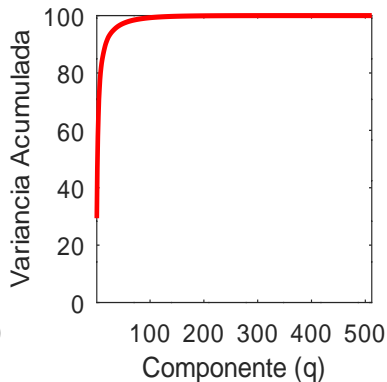
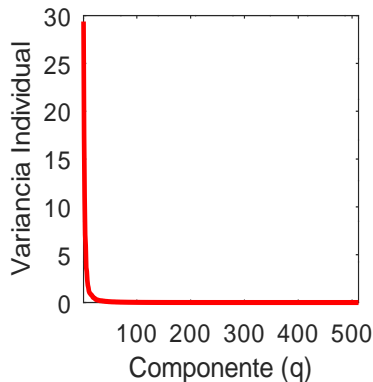
### Implementação em Matlab/Octave

```
» X=imread('lena512.jpg');    % Carrega imagem
» X=im2double(X);    % Converte para ponto flutuante
» Cx=cov(X');    % Estima matriz de covariancia
» [V L VEi]=pcacov(Cx);    % Aplica PCA
» VE=cumsum(VEi);    % Calcula variancia explicada
» figure;
» subplot(2,1,1); plot(VEi,'r-','linewidth',2) % Screeplot
» subplot(2,1,2); plot(VE,'r-','linewidth',2) % Var. acumulada
```

# Álgebra Linear

## Análise das Componentes Principais

**Gráficos PCA:** Screeplot (esq.) + Variância Acumulada (dir.)



# Álgebra Linear

## Análise das Componentes Principais

### Implementação em Matlab/Octave

```
> tol=95; q=length(find(VE<=tol));    % Num. de Componentes Principais
ans =
    32
> Vq=V(:,1:q); Qq = Vq';    % Determina matriz de transformacao
> Zq=Qq*X;    % Reduz dimensionalidade com PCA
> size(Zq)    % Confere nova dimensao dos dados
ans =
    32    512
> Xrec = Qq'*Zq;    % Imagem reconstruida
> size(Xrec)    % Confere nova dimensao dos dados
ans =
    512    512
> figure;
> subplot(1,2,1); imshow(X); % plota imagem original
> subplot(1,2,2); imshow(Xrec); % junto com a imagem reconstruida
```

# Álgebra Linear

## Análise das Componentes Principais

**Imagens:** Original (esq.) + Reconstruída ( $q = 32$ , 90% VE) (dir.)

IMAGEM ORIGINAL



IMAGEM RECONSTRUIDA



# Álgebra Linear

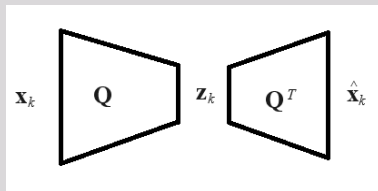
## Análise das Componentes Principais

**Imagens:** Original (esq.) + Reconstruída ( $q = 60$ , 98% VE) (dir.)



### PCA como Autoencoder Linear

- A técnica PCA pode ser entendida como um *autoencoder* linear.



- A parte do codificador (compressor) é implementada pela operação  $\mathbf{z}_k = \mathbf{Q}_q \mathbf{x}_k$ .
- A parte do decodificador (reconstrutor) é implementada pela operação  $\hat{\mathbf{x}}_k = \mathbf{Q}_q^T \mathbf{z}_k$ .
- Dependendo da área de aplicação, o vetor  $\mathbf{z}_k$  pode ser chamado de *vetor-código* (telecomunicações) ou de vetor de *variáveis latentes* (aprendizado de máquinas).

### PCA como Autoencoder Linear

- A norma quadrática do erro de reconstrução da entrada  $\mathbf{x}_k$  do autoencoder é dado por

$$e_k^2 = \|\mathbf{x}_k - \hat{\mathbf{x}}_k\|^2, \quad k = 1, \dots, N \quad (60)$$

em que  $\|\cdot\|$  denota a norma euclidiana.

- Um autoencoder pode ser usado em problemas de *detecção de anomalias*, que é um tipo de classificação binária.
- Porém, devido à escassez de exemplos de uma das classes, detecção de anomalias é normalmente tratado como um problema de classe única (*one-class problem*).
- Assim, treina-se o autoencoder com os dados da classe com mais exemplos disponíveis, usualmente a classe de exemplos negativos (i.e., contém dados *normais* ou *não-anômalos*).

### PCA como Autoencoder Linear

- Suponha que medimos várias grandezas físicas, agrupando-as em um vetor  $\mathbf{x} \in \mathbb{R}^p$ , e que juntas representam o estado de um processo industrial, de um equipamento, ou até de um paciente.
- Então podemos usar a seguinte regra de decisão para detectar anomalias no processo/equipamento/paciente:

$$\begin{array}{ll} \text{SE} & \|\mathbf{x} - \hat{\mathbf{x}}\|^2 > L, \\ \text{ENTÃO} & \mathbf{x} \text{ é um estado anômalo.} \end{array} \quad (61)$$

em que  $L$  denota o limiar de anomalias.

- Em palavras, se o erro quadrático de reconstrução para um dado vetor  $\mathbf{x}$  é maior que o limiar  $L$ , então  $\mathbf{x}$  provavelmente denota um estado anômalo.
- O limiar de decisão  $L$  pode ser calculado de duas maneiras, conforme será descrito a seguir.



### Estimação do Limiar de Decisão

- **Método 1** - O limiar de decisão  $L$  é determinado pelo valor crítico da distribuição chi-quadrado  $\chi^2_{(p,1-\alpha)}$  com  $p$  graus de liberdade e nível de significância  $\alpha$ . A escolha deste método assume que os erros quadráticos  $\{e^2(\mathbf{x}, \hat{\mathbf{x}})\}$  seguem tal distribuição.

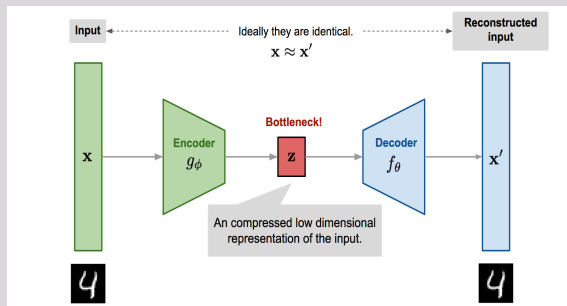
No Octave/Matlab: `» L=chi2inv(1- $\alpha$ ,p).`

- **Método 2** - O limiar de decisão  $L$  é determinado calculando-se o percentil  $100*(1-\alpha)$  para o conjunto  $\{e^2(\mathbf{x}_k, \hat{\mathbf{x}}_k)\}_{k=1}^{N_{trn}}$ , que é o conjunto dos erros quadráticos de reconstrução dos  $N_{trn}$  vetores de treinamento.

No Octave/Matlab: `k=prctile(D2trn,100*(1- $\alpha$ )).`

### Modelo Geral de um Autoencoder

- Vimos que a técnica PCA pode ser entendida como um *Autoencoder* linear. Porém, o conceito de autoencoder é mais amplo e pode ser generalizado pelo modelo mostrado na figura abaixo.



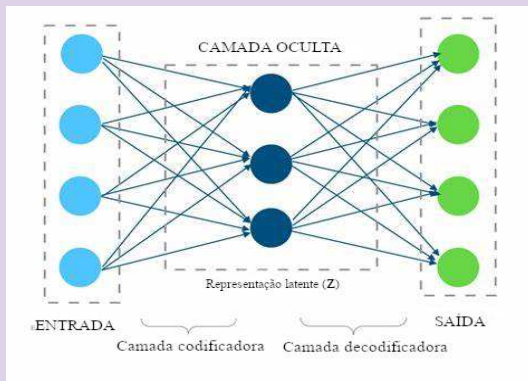
### Autoencoder Usando Redes Neurais

- Assim, podemos usar a mesma lógica para projeto de um detetor de anomalias baseado no erro de reconstrução para projetar um *autoencoder* (AE) baseado em redes neurais do tipo MLP (*perceptron multicamadas*).
- Neste caso, as saídas-alvo da rede MLP são as próprias variáveis de entrada. Portanto, o número de neurônios de saída é igual ao à dimensão do vetor de entrada entrada.
- Para uma rede MLP com uma camada oculta, a dimensão do espaço latente ( $q$ ) é dada pelo número de neurônios ocultos (ver próximo slide).
- O vetor-código  $\mathbf{z}_k$ , ou seja, a versão codificada do vetor de entrada  $\mathbf{x}_k$  é dado pelo vetor formado pelas saídas dos neurônios ocultos.

# Álgebra Linear

## Análise das Componentes Principais

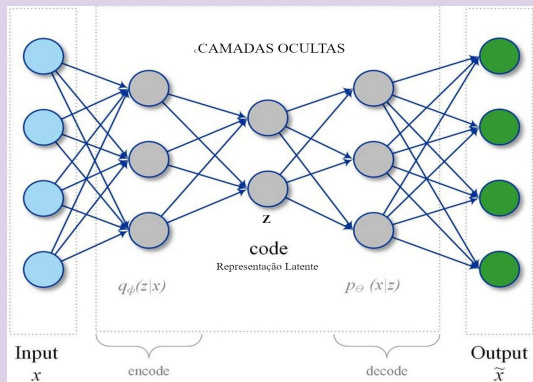
Arquitetura de um AE-MLP de 1 camada oculta. A representação latente do vetor de entrada  $\mathbf{x} \in \mathbb{R}^p$  é dada pelo vetor  $\mathbf{z} \in \mathbb{R}^q$ ,  $q < p$ , contendo as saídas dos neurônios da única camada oculta.



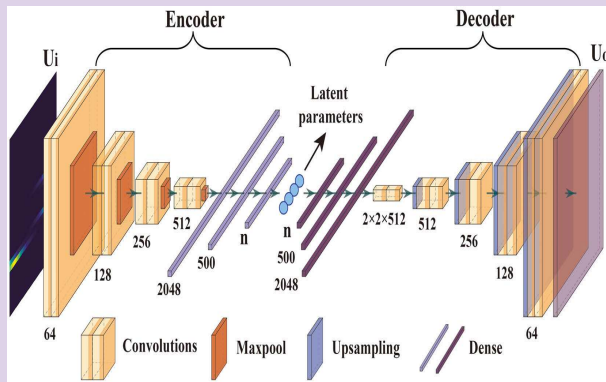
# Álgebra Linear

## Análise das Componentes Principais

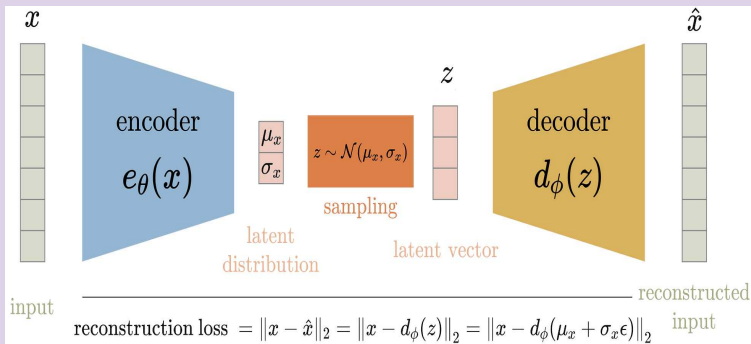
Arquitetura de um AE-MLP de 3 camadas ocultas. A representação latente do vetor de entrada  $\mathbf{x} \in \mathbb{R}^p$  é dada pelo vetor  $\mathbf{z} \in \mathbb{R}^q$ ,  $q < p$ , contendo as saídas dos neurônios da camada oculta central; ou seja, da 2a. camada oculta.



### Arquitetura de um AE convolucional.



### Arquitetura de um AE variacional.



### Aplicações de Autoencoders

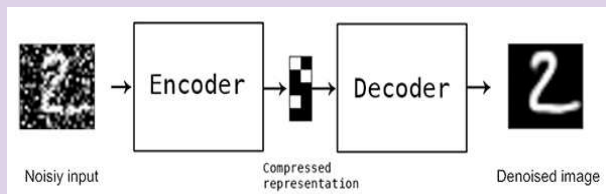
- O tópico *autoencoders* foi abordado inicialmente através da aplicação em detecção de anomalias.
- Contudo, há diversas outras aplicações possíveis para AEs, mas todas resultantes das propriedades de compressão da informação de autoencoders, tais como
  - *Compressão de dados*: Usado para comprimir dados de natureza complexa, porém com perdas (*lossy compression*).
  - *Image Denoising*: Usado para filtragem de ruído em imagens.
  - *Redução de Dimensionalidade*: Usado para classificação ou visualização de dados.
  - *Recuperação de Imagens*: Usado para recuperar trechos de imagens ou imagens inteiras.
  - *Produção de Imagens*: Usado como modelo generativo (AE variacional) para produção de novas imagens.



# Álgebra Linear

## Análise das Componentes Principais

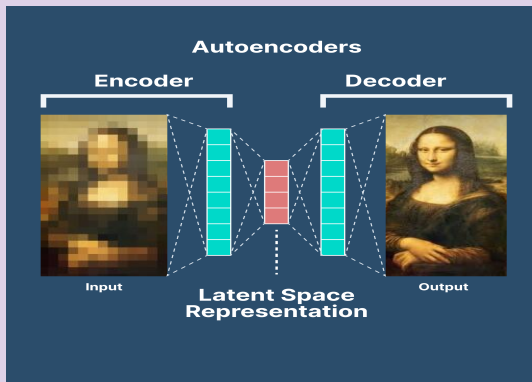
Autoencoder para Filtragem de Ruído. No treinamento adiciona-se um pouco de ruído ao vetor/imagem de entrada:  $\tilde{\mathbf{x}}_k = \mathbf{x}_k + \mathbf{n}_k$ ,  $\mathbf{n}_k \sim N(0, \sigma_n^2)$ . Porém, deve-se usar como saídas-alvo o vetor/imagem sem ruído  $\mathbf{x}_k$ .



# Álgebra Linear

## Análise das Componentes Principais

Autoencoder para Recuperação de imagens: treinamento com imagem na qualidade desejada, teste com imagens de qualidade inferior.



### PCA e AEs em Classificação

- A aplicação de PCA e AEs à matriz de dados originais  $\mathbf{X}$  ( $p \times N$ ) gerará uma nova matriz  $\mathbf{Z}$  ( $q \times N$ ).
- As colunas de  $\mathbf{Z}$  são formadas por  $\mathbf{z}_k = \mathbf{Q}_q \mathbf{x}_k$ , para  $k = 1, \dots, N$ .
- Assim, em um problemas de classificação, projeta-se o classificador com os pares entrada-saída  $\{(\mathbf{z}_k, \mathbf{y}_k)\}_{k=1}^N$  extraídos das seguintes matrizes:

$$\mathbf{Z} = [\mathbf{z}_1 \mid \mathbf{z}_2 \mid \cdots \mid \mathbf{z}_k \mid \cdots \mid \mathbf{z}_N] \quad (62)$$

$$\mathbf{Y} = [\mathbf{y}_1 \mid \mathbf{y}_2 \mid \cdots \mid \mathbf{y}_k \mid \cdots \mid \mathbf{y}_N], \quad (63)$$

em que  $\mathbf{Y}$  é a matriz de rótulos inicialmente associada à matriz  $\mathbf{X}$ .